

Europäisches Patentamt

European Patent Office

Office européen des brevets



(11) **EP 1 205 713 A1**

(12)

EUROPÄISCHE PATENTANMELDUNG

(43) Veröffentlichungstag:15.05.2002 Patentblatt 2002/20

(51) Int Cl.7: **F23R 3/28**, F23D 14/02

(21) Anmeldenummer: 01125598.1

(22) Anmeldetag: 26.10.2001

(84) Benannte Vertragsstaaten:

AT BE CH CY DE DK ES FI FR GB GR IE IT LI LU MC NL PT SE TR
Benannte Erstreckungsstaaten:
AL LT LV MK RO SI

(30) Priorität: 09.11.2000 DE 10055408

(71) Anmelder: ALSTOM Power N.V. 1101 CS Amsterdam (NL)

(72) Erfinder:

- Paschereit, Christian Oliver, Dr. 5400 Baden (CH)
- Flohr, Peter, Dr.
 5400 Baden (CH)
- (74) Vertreter: Pöpper, Evamaria, Dr. et al ALSTOM (Schweiz) AG Intellectual Property CHSP Haselstrasse 16/699, 5. Stock 5401 Baden (CH)

(54) Verfahren zur Brennstoffeinspritzung in einem Brenner

(57) Bei einem Verfahren zur Einspritzung von Brennstoff in einen Brenner (1), welcher Brenner (1) einen von wenigstens einer Schale (8,9) umschlossenen Innenraum (22) umfasst, bei welchem Brennstoff durch Brennstoffdüsen (6) in einen im Innenraum (22) strömenden Verbrennungsluftstrom (23) eingedüst wird, das entstehende Brennstoff/Luft-Gemisch innerhalb einer Verzugszeit (τ) zu einer Flammfront (3) in einen Brennraum (2) strömt, und dort entzündet, wird die Aus-

bildung von thermoakustischen, verbrennungsgetriebenen Schwingungen dadurch erreicht, dass der Brennstoff derart mittels über die Brennerlänge verteilter Brennstoffdüsen (6) eingedüst wird, dass die Verzugszeit (τ) zwischen Eindüsung des Brennstoffs und dessen Verbrennung an der Flammfront (3) für die verschiedenen Brennstoffdüsen einer über die Brennerlänge systematisch variierenden, die Schwingungen verringernden Verteilung (12) entspricht.

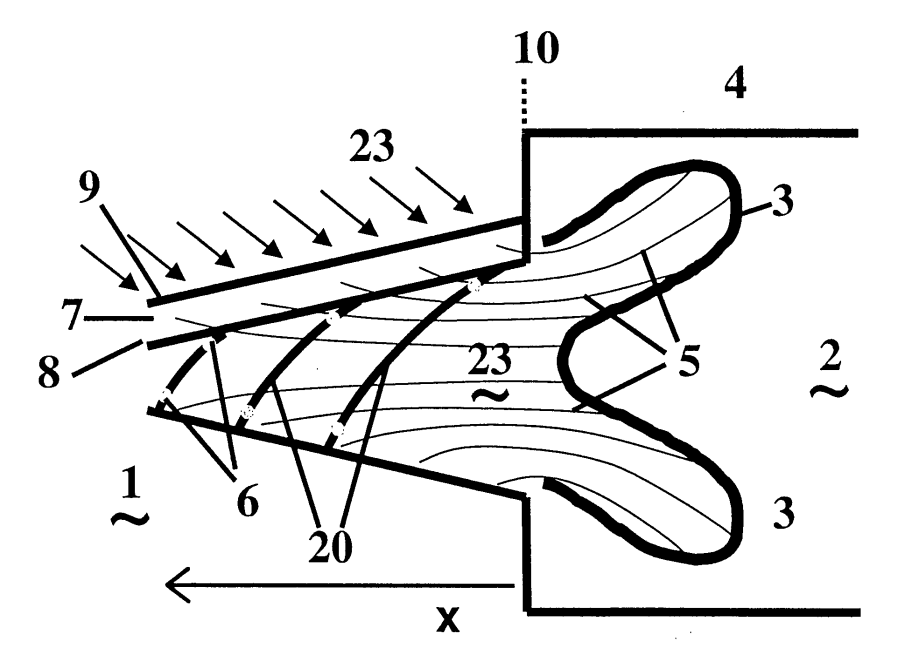


Fig. 4a)

Beschreibung

TECHNISCHES GEBIET

[0001] Die vorliegende Erfindung betrifft ein Verfahren zur Einspritzung von Brennstoff in einen Brenner, z. B. in einen Doppelkegelbrenner, sowie einen Brenner zur Durchführung dieses Verfahrens.

STAND DER TECHNIK

[0002] Bei Brennern, welche flüssigen oder gasförmigen Brennstoff einem Brennraum zuführen, wo der Brennstoff an einer Flammfront verbrennt, treten häufig sogenannte thermoakustische Schwankungen auf. So auch z.B., aber nicht ausschliesslich, beim sehr erfolgreich eingesetzten sogenannten Doppelkegelbrenner, wie er in der EP 0 321 809 beschrieben ist. Neben der strömungstechnischen Stabilität sind Mischungsbruchschwankungen ein Hauptgrund für das Auftreten von derartigen thermoakustischen Instabilitäten. Strömungsmechanische Instabilitätswellen, die am Brenner entstehen, führen zur Ausbildung von Wirbeln (kohärente Strukturen), die die Verbrennung beeinflussen und zu periodischer Wärmefreisetzung mit den damit verbundenen Druckschwankungen führen können. Die fluktuierende Luftsäule im Brenner führt zu Schwankungen im Mischungsbruch mit den damit verbundenen Schwankungen in der Wärmefreisetzung.

[0003] Diese thermoakustischen Schwingungen stellen eine Gefahr für jede Art von Verbrennungsanwendung dar. Sie führen zu Druckschwingungen hoher Amplitude, zu einer Einschränkung des Betriebsbereiches und können die Schadstoffemissionen erhöhen. Dies trifft insbesondere für Verbrennungssysteme mit geringer akustischer Dämpfung zu. Um in Bezug auf Pulsationen und Emissionen eine hohe Leistungskonversion über einen weiten Betriebsbereich zu ermöglichen, kann eine aktive Kontrolle der Verbrennungsschwingungen notwendig sein. Kohärente Strukturen spielen eine entscheidende Rolle bei Mischungsvorgängen zwischen Luft und Brennstoff. Die Dynamik dieser Strukturen beeinflusst demzufolge die Verbrennung und damit die Wärmefreisetzung. Durch Beeinflussung der Scherschicht zwischen dem Frischgasgemisch und dem rezirkulierten Abgas ist eine Kontrolle der Verbrennungsinstabilitäten möglich (z. B. Paschereit et al., 1998, "Structure and Control of Thermoacoustic Instabilities in a Gas-turbine Bumer", Combustion, Science & Technology, Vol. 138, 213-232). Eine Möglichkeit dazu ist die akustische Anregung (EP 0 918 152 A1).

[0004] Durch Brennstoffstaging lässt sich die Flammenposition beeinflussen und damit der Einfluss von Strömungsinstabilitäten als auch Zeitverzugseffekten vermindern.

[0005] Ein weiterer Mechanismus, der zu thermoakustischen Schwingungen führen kann, sind Schwankungen im Mischungsbruch zwischen Brennstoff und Luft.

DARSTELLUNG DER ERFINDUNG

[0006] Der Erfindung liegt demnach die Aufgabe zugrunde, ein Verfahren sowie einen Brenner zur Durchführung eines derartigen Verfahrens anzugeben, bei welchem das Auftreten derartiger thermoakustischer Schwingungen vermindert oder sogar vermieden wird. [0007] Es handelt sich dabei um ein Verfahren zur Einspritzung von Brennstoff in einen Brenner, welcher Brenner einen von wenigstens einer Schale umschlossenen Innenraum umfasst, bei welchem Brennstoff durch Brennstoffdüsen in einen im Innenraum strömenden Verbrennungsluftstrom eingedüst wird, das entstehende Brennstoff/Luft-Gemisch innerhalb einer Verzugszeit τ zu einer Flammfront in einen Brennraum strömt, und dort entzündet.

[0008] Bei einem derartigen Verfahren werden thermoakustische Schwingungen erfindungsgemäss verringert oder sogar ganz vermieden, indem der Brennstoff derart mittels über die Brennerlänge verteilter Brennstoffdüsen eingedüst wird, dass die Verzugszeit τ zwischen Eindüsung des Brennstoffs und dessen Verbrennung an der Flammfront für die verschiedenen Brennstoffdüsen einer über die Brennerlänge systematisch variierenden Verteilung entspricht, welche verbrennungsgetriebene Schwingungen vermeidet.

[0009] Bei einem konventionellen Brenner ist erfahrungsgemäss für alle der über die Brennerlänge verteilten Brennstoffdüsen die Verzugszeit τ zwischen Eindüsungsort und effektiver Verbrennung an der Flammfront im wesentlichen gleich. Man findet eine von der Eindüsungsposition unsystematische leichte Variation um einen Mittelwert. Dies führt dazu, dass sich thermoakustische Schwingungen leicht aufbauen können. Der Kern der Erfindung besteht nun also darin, den Brennstoff derart in den Verbrennungsluftstrom einzudüsen, dass sich keine im wesentlichen für alle über die Brennerlänge verteilten Brennstoffdüsen gleiche Verzugszeit τ zwischen Eindüsungsort und effektiver Verbrennung an der Flammfront einstellt, sondern dass die Verzugszeit eine über die Brennerlänge systematisch variierende Verteilung annimmt.

[0010] Ein erste bevorzugte Ausführungsform der Erfindung zeichnet sich dadurch aus, dass der maximale Zeitverzug τ_{max} zwischen Eindüsungsort und Flammfront im Bereich von τ_{max} = 5-50 ms liegt, und dass insbesondere bevorzugt bei einer Strömungsgeschwindigkeit des Brennstoff/Luft-Gemisches im Innenraum im Bereich von 20-50 m/s der maximale Zeitverzug τ_{max} im Bereich von τ_{max} = 5-15 ms liegt, dies unter Berücksichtigung der Verschiebung der Flammfrontposition in Abhängigkeit von der Strömungsgeschwindigkeit. Wird das Verfahren unter derartigen Bedingungen angewendet, so können die thermoakustischen Schwingungen besonders gut verringert werden.

[0011] Bei einer weiteren Ausführungsform der Erfindung wird der Brennstoff derart eingedüst, dass die Zeitverzugsverteilung über die Brennerlänge zum Brenne-

rende hin vom Maximalwert τ_{max} um eine maximale Verzugsdifferenz $\Delta \tau$ im wesentlichen linear abnehmend zu einem Minimalwert beim Brennerende von τ_{max} - $\Delta \tau$ gestaltet ist. Diese einfache Verteilung kann mit relativ wenig Aufwand realisiert werden und zeigt eine effiziente Wirkung. Es zeigt sich, dass bevorzugt die Verzugsdifferenz $\Delta \tau$ in den Bereich von 10-90% des Maximalwerts τ_{max} , insbesondere in den Bereich von mehr als 50 % des Maximalwerts τ_{max} eingestellt wird.

[0012] Bei einer weiteren Ausführungsform des Verfahrens handelt es sich beim Brenner um einen Doppelkegelbrenner, bei welchem der Brenner aus mindestens zwei aufeinander positionierten hohlen Teilkegelkörpern, welche in Strömungsrichtung eine zunehmende Kegelneigung aufweisen, und welche Teilkegelkörper zueinander versetzt angeordnet sind, so dass die Verbrennungsluft durch einen Spalt zwischen den Teilkegelkörpern in den Innenraum strömt, gebildet wird. Gerade bei diesem, bereits oben genannten, vormischartigen Doppelkegelbrenner lässt sich das Verfahren besonders günstig anwenden.

[0013] Des weiteren betrifft die Erfindung einen Brenner zur Durchführung des obigen Verfahrens wobei die Brennstoffdüsen in Gruppen aufgeteilt sind, und wobei jeweils eine Gruppe von Brennstoffdüsen auf einer Linie derart angeordnet ist, dass alle Brennstoffdüsen einer Gruppe für die Speisung des gleichen Bereichs in der Flammfront zuständig sind. Insbesondere bevorzugt werden bei einem derartigen Brenner die Brennstoffdüsen derart verteilt, dass die Anzahl von Linien grösser ist als die mittlere Anzahl von Brennstoffdüsen einer Gruppe. Bei einem Doppelkegelbrenner z.B. können die Brennstoffdüsen auf den Konusoberflächen der Teilkegelkörper auf Linien für einen Bereich der Flammfront angeordnet werden. Es zeigt sich dabei, dass eine Aufteilung der insgesamt 32 Düsen eines Doppelkegelbrenners in 8 Gruppen auf 8 Linien mit je 4 Düsen vorteilhaft ist.

KURZE ERLÄUTERUNG DER FIGUREN

[0014] Die Erfindung soll nachfolgend anhand von Ausführungsbeispielen im Zusammenhang mit den Zeichnungen näher erläutert werden. Es zeigen:

- Fig. 1a) einen konventionellen Doppelkegelbrenner mit typischer Brennstoffeindüsung;
- Fig. 1b) die bei einem Brenner nach Fig. 1a) auftretende schematisierte Verzugszeitverteilung über die Brennerlänge;
- Fig. 2 eine lineare Verzugszeitverteilung;
- Fig. 3 eine zweidimensionale Stabilitätsanalyse von Verzugszeitverteilungen;
- Fig. 4a) einen Doppelkegelbrenner mit verteilter Brennstoffdüsenanordnung; und
- Fig. 4b) mögliche Verzugszeitenverteilungen bei einem Brenner nach Fig. 4a).

WEGE ZUR AUSFÜHRUNG DER ERFINDUNG

[0015] Beeinflusst man den Zeitverzug zwischen der Brennstoffeindüsung und der periodischen Wärmefreisetzung, d.h. der Flammfront, kann man die Verbrennungsinstabilitäten kontrollieren. Der Grundgedanke der Erfindung ist, den Zeitverzug τ zwischen der periodischen Wärmefreisetzung an der Flammfront und der Druckschwankung bei der Eindüsung zu stören, so dass das Rayleigh-Kriterium

$$G(x) = \frac{1}{T} \int_{0}^{T} p'(x,t)q'(x,t)dt < 0$$

nicht mehr erfüllt ist, d.h. Wärmefreisetzung und Druckmaximum nicht mehr in Phase sind. Damit ist der treibende Mechanismus für das Auftreten von thermoakustischen Schwingungen unterbunden. Die Darstellung des Rayleigh-Kriteriums nach Fouriertransformation im Frequenzbereich zeigt diesen Zusammenhang noch deutlicher:

$$G(x)=2\int |S_{pq}(x, f)|\cos(\phi_{pq})df$$

wobei S_{pq} das Kreuzspektrum zwischen Druckfluktuationen p' und Fluktuationen der Wärmefreisetzung q' darstellt und ϕ_{pq} die Phasendifferenz. Durch Wahl der korrekten Phasendifferenz zwischen Wärmefreisetzung (beeinflussbar durch den Zeitverzug) und dem Drucksignal kann der Rayleigh-Index auf G(x) < 0 eingestellt werden und damit ist das System gedämpft. Es zeigt sich nun, dass der Zeitverzug vom Eindüsungsort bei den Brennstoffdüsen bis zur Flammfront bei bestehenden Vormischbrennern über die gesamte Eindüsungslänge des Vormischgases in bestimmten Betriebspunkten konstant ist. So z.B. bei einem Doppelkegelbrenner nach dem Stand der Technik wie in Fig. 1a) dargestellt. [0016] In diesem beispielhaft zu verstehenden Längsschnitt durch einen Doppelkegelbrenner 1, wie er z.B. aus der EP 0 321 809 bekannt ist, ist der obere Spalt 7 zwischen den beiden konischen Brennerschalen 8 und 9 erkennbar. Die Verbrennungsluft 23 tritt durch diesen Spalt 7 an den über die Brennerlänge verteilten Brennstoffdüsen 6 vorbei in den Innenraum 22, wobei der Brennstoff von der vorbeiströmenden Luft 23 erfasst und umschlossen wird. Im Innenraum 22 des Brenners 1 strömt der Verbrennungsluftstrom unter Ausbildung einer sich in Strömungsrichtung ausbreitenden kegelförmigen Brennstoffsäule entlang der Stomlinien 5. Das Brennstoff/Luft-Gemisch gelangt dann in den Brennraum 2. wo es an einer Flammfront 3 entzündet.

[0017] Bei einem derartigen Doppelkegelbrenner ist die Verzugszeit τ , die zwischen der Eindüsung an den Brennstoffdüsen 6 bis zur Entzündung an der Flammfront 3 verstreicht, nahezu konstant für alle Positionen

50

der Brennstoffdüsen, wie dies in Fig. 1b) schematisch dargestellt ist (die Koordinate x erstreckt sich dabei vom Ausgang 10 des Brenners 1 zu dessen hinterem Ende, d.h. in der Figur 1a) von rechts nach links). Es kann mit anderen Worten keine systematische Variation der Verzugszeiten τ in Funktion der Brennstoffdüsenposition entlang des Brenners 1 beobachtet werden (z.B. kürzere Verzugszeiten für Düsen 6 nahe beim Brenneraustritt 10), sondern vielmehr eine mehr oder weniger zufällig erscheinende, um einen Mittelwert nur wenig schwankende Verteilung als Funktion des Eindüsungsortes x. [0018] Wie in Fig. 2 dargestellt, wird nun erfindungsgemäss vorgeschlagen, anstelle des bisher im wesentlichen konstanten Zeitverzugs von der Brennstoffeindüsung 6 bis zur Flammfront 3 eine Verteilung der Verzugszeit über die Brennerlänge einzustellen. Die Verteilung wird in einer ersten Wahl so eingestellt, dass die Verzugszeiten τ um eine Verzugszeitendifferenz $\Delta \tau$ linear variiert, und zwar von einem Minimum $\tau_{\text{max}}\text{-}\Delta\tau$ zum Maximum im hinteren Brennerbereich von τ_{max} linear zunehmend.

[0019] In einer zweidimensionalen Darstellung ist in Fig. 3 die Brennerstabilität als Funktion der Parameter $\Delta\tau$ (x-Achse) und τ_{max} (y-Achse) für eine Verzugszeitverteilung wie in Fig. 2 angegeben. Als einzelne Messwerte sind dabei exemplarisch drei Werte für das Verhalten bei verschiedenen Strömungsgeschwindigkeiten im Brenner angegeben: für niedrige Strömungsgeschwindigkeit 17, für mittlere Strömungsgeschwindigkeit 18 und für hohe Strömungsgeschwindigkeit 19. Allgemein zeigt es sich, dass sich zwei grundsätzlich instabile, hier schraffierte Bereiche ausbilden. Auf der einen Seite ein unstabiler Bereich 16 kurzer Verzugszeiten. Fast unabhängig von der Wahl von $\Delta \tau$ ist der Brenner hier nicht akustisch stabil für derart hohe Strömungsgeschwindigkeiten. Ein zweiter, inselartiger Bereich 13 unstabilen Verhaltens findet sich für niedrige Geschwindigkeiten, d.h. hohe Werte von $\tau_{\text{max}},$ und für kleine Werte von $\Delta \tau$.

[0020] Es ist nun leicht erkennbar, dass sich die Stabilität eines Brenners, der mit seinen typischen Betriebswerten meist nahe der Insel 13 arbeitet, sowohl durch eine Erhöhung der Strömungsgeschwindigkeit gemäss Pfeil 15 stabilisiert werden kann, als auch durch eine Erhöhung der Verzugszeitendifferenz $\Delta \tau$, d.h. durch eine Verschiebung des Betriebspunktes in der Graphik gemäss Pfeil 14 nach rechts. Da aus praktischen Gründen der Wert von τ_{max} nicht einfach immer in den stabilen niedrigen Bereich gem. 15 verschoben werden kann, ist eine Verschiebung mittels Einstellung erhöhter Verzugseitendifferenzen $\Delta \tau$, d.h. über stärker gespreizte Verzugszeiten, oftmals eine effiziente und realisierbare Alternative.

[0021] Typischerweise liegen die Verzugszeiten bei Brennern im Bereich von τ = 5-50 ms, bei Doppelkegelbrennern normalerweise im Bereich von 5-15 ms bei Strömungsgeschwindigkeiten von 10-50 m/s. $\Delta \tau$ kann nun in einem weiten Bereich variiert werden, typischer-

weise finden aber Variationen von $\Delta \tau$ = 0.5 τ_{max} Anwendung, bei Doppelkegelbrennern erweist sich eine Variation von $\Delta \tau \geq$ 0.5 τ_{max} als besonders vorteilhaft.

[0022] Technisch realisieren lässt sich eine derartige Verteilung an einem als Ausführungsbeispiel dienenden Doppelkegelbrenner wie bereits in Fig. 1 dargestellt über eine einfache Modifikation der Brennstoffeinspritzung in den Verbrennungsluftstrom 23. Die Brennstoffdüsen 6 werden hier nicht mehr unmittelbar an der Spalte 7 zwischen den beiden Schalen 8 und 9 angeordnet, sondern werden auf resp. in die Konusoberflächen der Elemente 8 und 9 eingelassen, und dadurch systematisch die Verzugszeiten eingestellt. Die Brennstoffdüsen 6 können dafür in Gruppen aufgeteilt werden, und jeweils die Brennstoffdüsen einer Gruppe werden dabei auf Linien 20 angeordnet, die den Stromlinien entlang der Brennerkontur folgen. Düsen einer Gruppe speisen einen bestimmten Bereich der Flammfront, allerdings mit unterscheidlicher Verzugszeit τ zwischen Moment der Eindüsung und Ankunft an der Flammfront 3. Dabei ist es von Vorteil, möglichst viele Gruppen zu bilden um zusätzliche zur Streuung des Zeitverzugs eine gleichmässig vertieilte Flamme auszubilden. Bei der für Doppelkegelbrenner wegen des Druckabfalls typischen Zahl von 32 Düsen, ist z.B. eine Aufteilung auf 8 Gruppen, deren jeweils 4 Düsen (je zwei pro Konus 8 resp. 9) auf 8 Linien gleichen Zeitverzugs angeordnet werden, geeignet, um die thermoakustischen Schwingungen zu verhindern.

[0023] Eine Anordnung der Brennstoffdüsen 6 auf derartigen Linien 20 erlaubt nun die Einstellung von Verzugszeitenverteilungen in einem ganzen Bereich 21, wie sie in Fig. 4b) dargestellt ist. Selbstverständlich sind auch andere Anordnungen der Brennstoffdüsen an resp. in einem Brenner möglich, welche zu einer gezielten, thermoakustische Schwingungen verhindernden systematischen Verteilung der Verzugszeiten führen, und das vorgestellte Ausführungsbeispiel sowie die angegebenen, im wesentlichen linearen Verteilungen sind nur beispielhaft zu verstehen.

BEZEICHNUNGSLISTE

[0024]

45

- 1 Doppelkegelbrenner
- 2 Brennraum
- 3 Flammfront
- 4 Wand des Brennraums
- 5 Stromlinien des Brennstoff/Luft Gemisches
- 6 Brennstoffdüsen
- 7 Spalt zwischen den konischen Brennerschalen
- 8 Innere konische Brennerschale bei 7
- 9 Äussere konische Brennerschale bei 7
- 10 Vorderes Ende des Doppelkegelbrenners
- 11 Konstanter Zeitverzug
- 12 Zeitverzugsverteilung
- 13 Unstabiler Bereich hoher Verzugszeiten

5

15

20

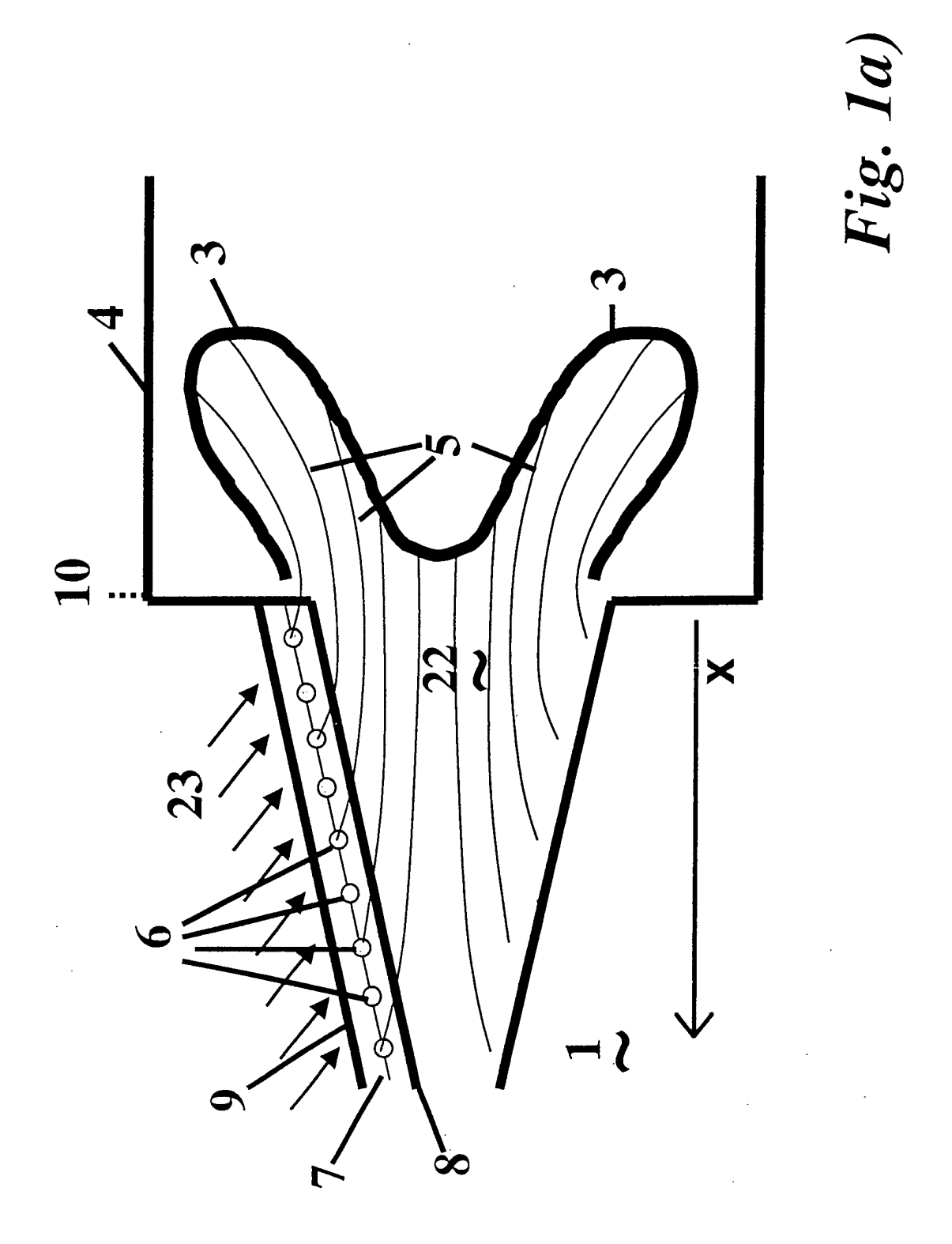
25

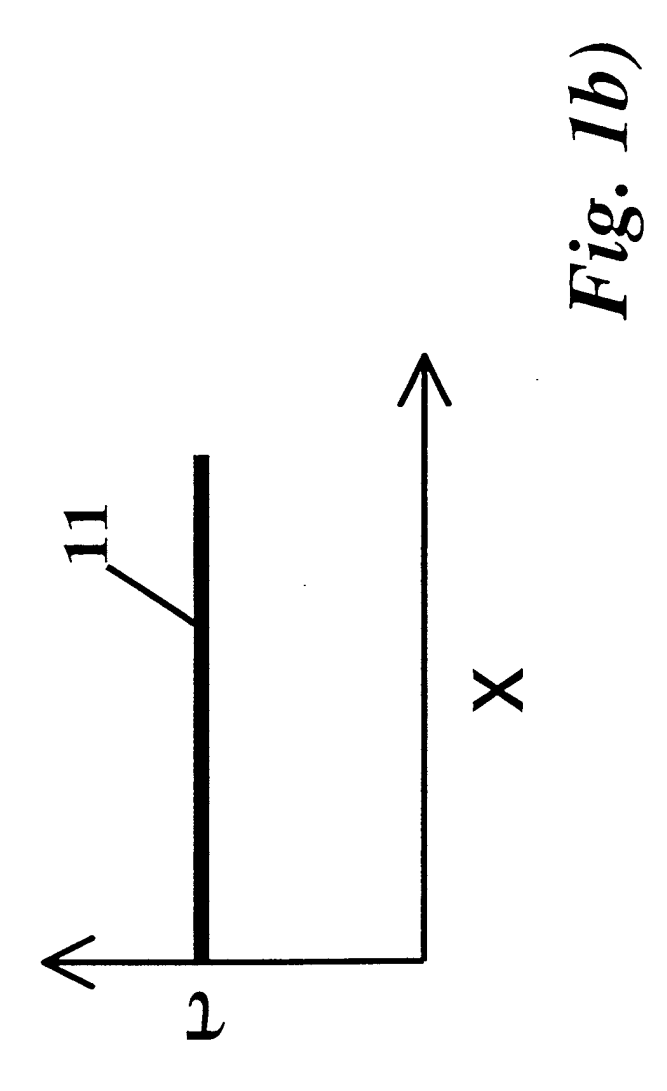
- 14 Stabilisierende Verschiebung nach grossen Verteilungsbreiten
- 15 Stabilisierende Verschiebung nach kurzen Verzugszeiten
- 16 Unstabiler Bereich kurzer Verzugszeiten
- 17 Verhalten bei niedriger Strömungsgeschwindigkeit
- 18 Verhalten bei mittlerer Strömungsgeschwindigkeit
- 19 Verhalten bei hoher Strömungsgeschwindigkeit
- 20 Linien für gleichen Bereich der Flammfront
- 21 Einstellbarer Zeitverzugsbereich
- 22 Innenraum
- 23 Verbrennungsluftstrom

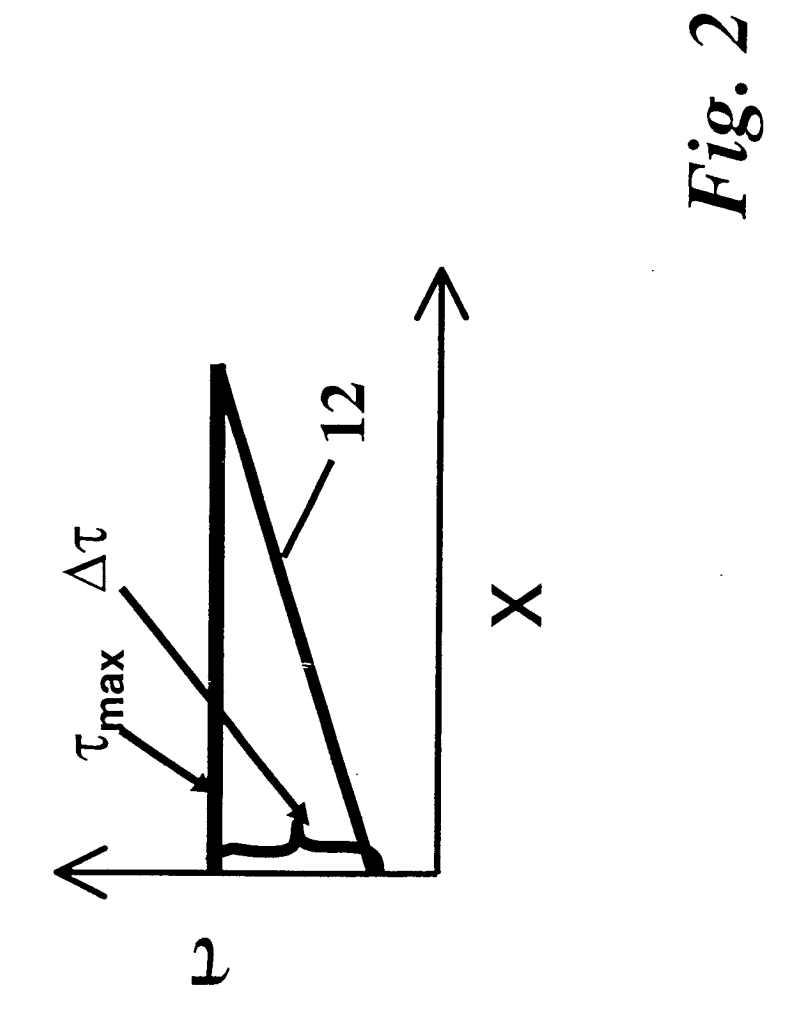
Patentansprüche

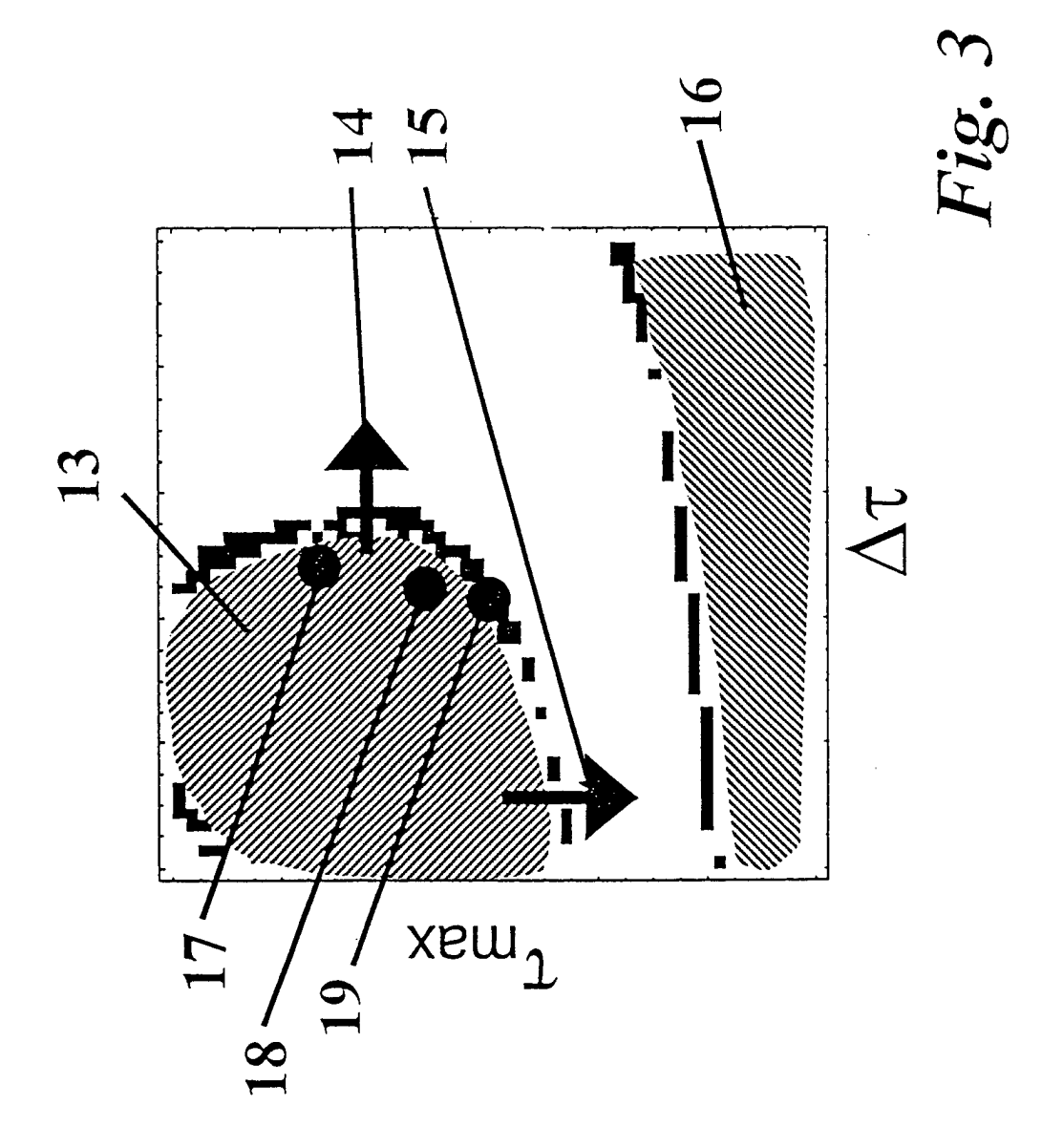
- Verfahren zur Einspritzung von Brennstoff in einen Brenner (1), welcher Brenner (1) einen von wenigstens einer Schale (8,9) umschlossenen Innenraum (22) umfasst, bei welchem Brennstoff durch Brennstoffdüsen (6) in einen im Innenraum (22) strömenden Verbrennungsluftstrom (23) eingedüst wird, das entstehende Brennstoff/Luft-Gemisch innerhalb einer Verzugszeit (τ) zu einer Flammfront (3) in einen Brennraum (2) strömt, und dort entzündet, dadurch gekennzeichnet, dass
 - der Brennstoff derart mittels über die Brennerlänge verteilter Brennstoffdüsen (6) eingedüst wird, dass die Verzugszeit (τ) zwischen Eindüsung des Brennstoffs und dessen Verbrennung an der Flammfront (3) für die verschiedenen Brennstoffdüsen einer über die Brennerlänge systematisch variierenden Verteilung (12) entspricht, welche verbrennungsgetriebene Schwingungen vermeidet.
- 2. Verfahren nach Anspruch 1, dadurch gekennzeichnet, dass der maximale Zeitverzug (τ_{max}) zwischen Eindüsungsort (6) und Flammfront (3) im Bereich von τ_{max} = 5-50 ms liegt.
- 3. Verfahren nach Anspruch 2, dadurch gekennzeichnet, dass bei einer Strömungsgeschwindigkeit des Brennstoff/Luft-Gemisches im Innenraum im Bereich von 20-50 m/s der maximale Zeitverzug (τ_{max}) im Bereich von $\tau_{max} = 5$ 15 ms liegt.
- 4. Verfahren nach einem der obigen Ansprüche, dadurch gekennzeichnet, dass der Brennstoff derart eingedüst wird, dass die Zeitverzugsverteilung (12) über die Brennerlänge zum Brennerende (10) hin vom Maximalwert τ_{max} um eine maximale Verzugsdifferenz ($\Delta \tau$) im wesentlichen linear abnehmend zu einem Minimalwert beim Brennerende (10) von τ_{max} $\Delta \tau$ gestaltet ist.
- 5. Verfahren nach Anspruch 4, dadurch gekenn-

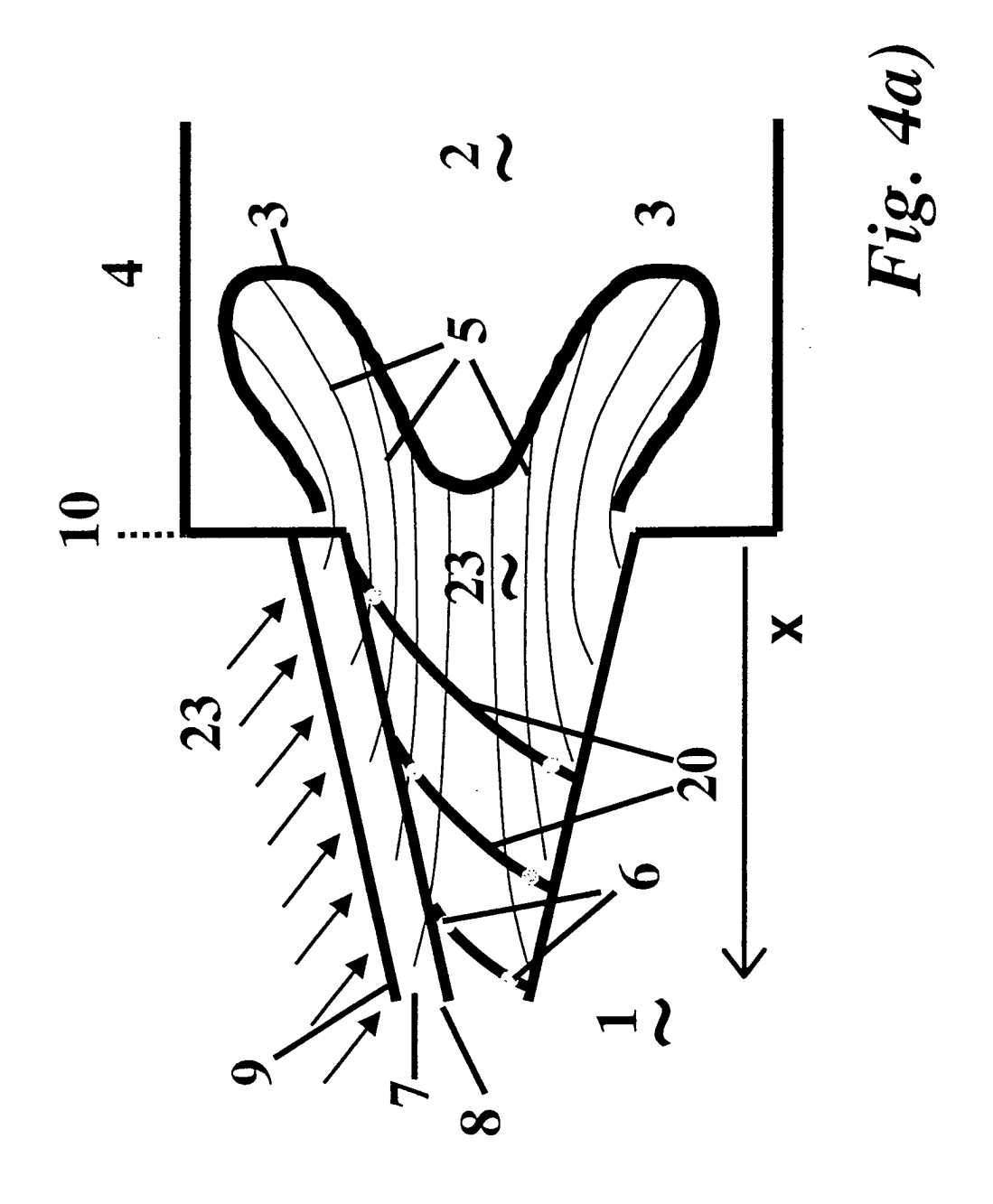
- zeichnet, dass die Verzugsdifferenz ($\Delta \tau$) im Bereich von 10-90% des Maximalwerts (τ_{max}), insbesondere im Bereich von mehr als 50 % des Maximalwerts (τ_{max}) liegt.
- 6. Verfahren nach einem der obigen Ansprüche, dadurch gekennzeichnet, dass es sich beim Brenner (1) um einen Doppelkegelbrenner handelt, bei welchem der Brenner (1) aus mindestens zwei aufeinander positionierten hohlen Teilkegelkörpern (8,9), welche in Strömungsrichtung eine zunehmende Kegelneigung aufweisen, und welche Teilkegelkörper (8,9) zueinander versetzt angeordnet sind, so dass die Verbrennungsluft (23) durch einen Spalt (7) zwischen den Teilkegelkörpern (8,9) in den Innenraum (22) strömt, gebildet wird.
- 7. Brenner (1) zur Durchführung eines Verfahrens nach einem der Ansprüche 1 bis 6, dadurch gekennzeichnet, dass die Brennstoffdüsen (6) in Gruppen aufgeteilt sind, wobei jeweils eine Gruppe von Brennstoffdüsen (6) auf einer Linie (20) derart angeordnet ist, dass alle Düsen (6) der Gruppe einen bestimmten Bereich der Flammfront (3) mit unterschiedlichem Zeitverzug (τ) speisen.
- 8. Brenner (1) nach Anspruch 7, dadurch gekennzeichnet, dass die Anzahl von Linien (20) grösser ist als die mittlere Anzahl von Brennstoffdüsen (6) einer Gruppe.
- Brenner nach einem der Ansprüche 7 oder 8 zur Durchführung eines Verfahrens nach Anspruch 7, dadurch gekennzeichnet, dass die Brennstoffdüsen auf den Konusoberflächen der Teilkegelkörper (8,9) auf einen bestimmten Bereich der Flammfront speisenden Linien (20) angeordnet sind.
- **10.** Brenner (1) nach Anspruch 9, **dadurch gekennzeichnet**, **dass** der Brenner insgesamt 32 Düsen aufweist, welche in 8 Gruppen auf 8 Linien (20) mit je 4 Düsen aufgeteilt sind.

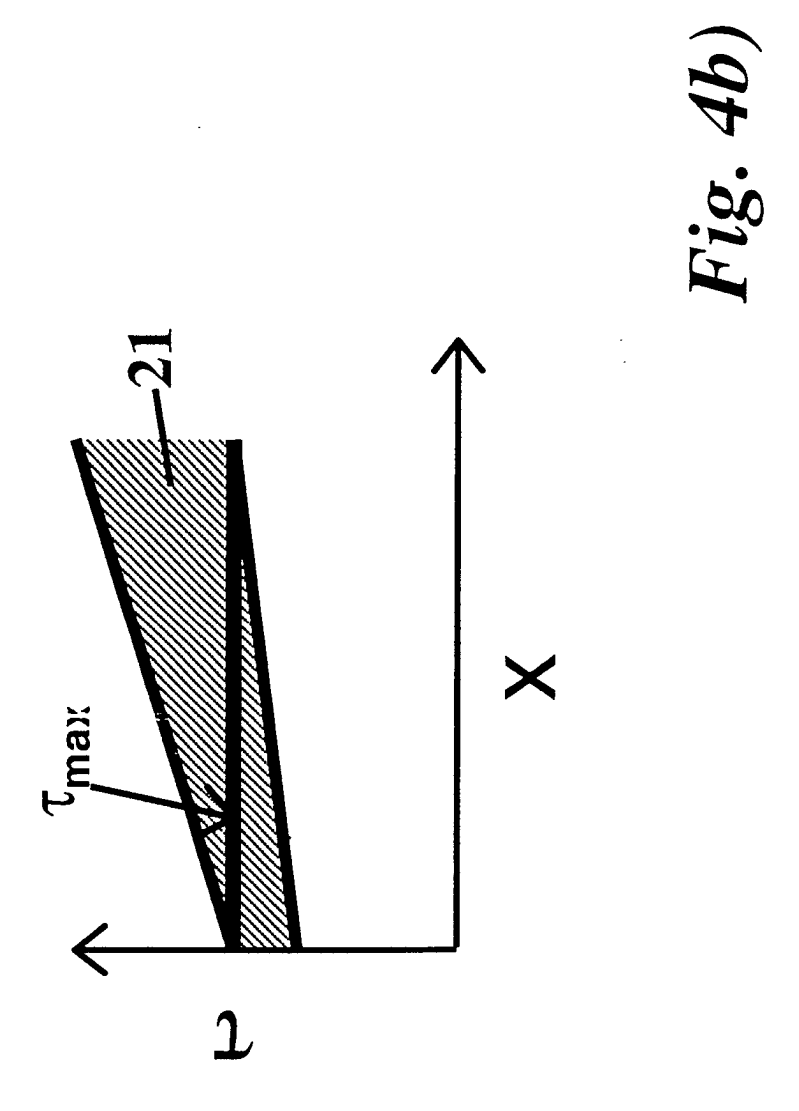














EUROPÄISCHER RECHERCHENBERICHT

Nummer der Anmeldung EP 01 12 5598

	EINSCHLÄGIGI	E DOKUME	NTE				
Kategorie	Kennzeichnung des Dokuments mit Angabe, soweit erforderlich, der maßgeblichen Teile				Betrifft Anspruch	KLASSIFIKATION DER ANMELDUNG (Int.CI.7)	
X A	DE 198 09 364 A (GE 17. September 1998 * Seite 1, Zeile 32 Abbildungen 1-3 *	(1998-09-	17)	5; 1 4,	7	F23R3/28 F23D14/02	
Α	EP 1 001 214 A (ASE 17. Mai 2000 (2000- * Seite 1, Zeile 54 Abbildungen 1,2 *	-05-17)	•	2;	6		
Α	EP 0 592 717 A (ASE 20. April 1994 (199 * Spalte 2, Zeile 2 Abbildungen 1,2 *	4-04-20)		56;	7		
Α	DE 44 46 945 A (ABE 4. Juli 1996 (1996- * das ganze Dokumer	07-04)	NT AG)	7			
						RECHERCHIERTE SACHGEBIETE (Int.Cl.7)	
						F23R F23D	
				- Green Street			
Der vo	rliegende Recherchenbericht wu		,				
	Recherchenort		ußdatum der Recherc		—	Prüfer	
	MÜNCHEN		Februar 20			is, G	
X : von l Y : von l ande A : techi O : nich	ATEGORIE DER GENANNTEN DOKI Desonderer Bedeutung allein betrach Desonderer Bedeutung in Verbindung ren Veröffentlichung derselben Kateg Dologischer Hintergrund schriftliche Offenbarung cheniteratur	tet mit einer	E : älteres Pa nach dem D : in der An L : aus ander	tentdokumer Anmeldedati neldung ange en Gründen a er gleichen P	t, das jedoc um veröffent sführtes Dok angeführtes		

EPO FORM 1503 03.82 (P04003)

ANHANG ZUM EUROPÄISCHEN RECHERCHENBERICHT ÜBER DIE EUROPÄISCHE PATENTANMELDUNG NR.

EP 01 12 5598

In diesem Anhang sind die Mitglieder der Patentfamilien der im obengenannten europäischen Recherchenbericht angeführten Patentfokumente angegeben

Patentdokumente angegeben.
Die Angaben über die Familienmitglieder entsprechen dem Stand der Datei des Europäischen Patentamts am Diese Angaben dienen nur zur Unterrichtung und erfolgen ohne Gewähr.

06-02-2002

	lm Recherchenbei eführtes Patentdo		Datum der Veröffentlichung		Mitglied(er) Patentfam		Datum der Veröffentlichun
DE	19809364	Α	17-09-1998	US DE GB GB JP US	5943866 19809364 2348484 2323157 10318541 6164055	A1 A ,B A ,B A	31-08-1999 17-09-1998 04-10-2000 16-09-1998 04-12-1998 26-12-2000
EP	1001214	Α	17-05-2000	EP US	1001214 2001019815		17-05-2000 06-09-2001
EP	0592717	A	20-04-1994	EP DE JP US	0592717 59209209 6193841 5482457	D1 A	20-04-1994 02-04-1998 15-07-1994 09-01-1996
DE	4446945	A	04-07-1996	DE GB US	4446945 2296562 5699667	A,B	04-07-1996 03-07-1996 23-12-1997

Für nähere Einzelheiten zu diesem Anhang : siehe Amtsblatt des Europäischen Patentamts, Nr.12/82

EPO FORM P0461